

УДК 536.46

ОБ ЭФФЕКТИВНОСТИ ИСПОЛЬЗОВАНИЯ РЕАЛЬНОГО ЗАКОНА СКОРОСТИ ГОРЕНИЯ ТВЕРДОГО ТОПЛИВА КАК ФУНКЦИИ ДАВЛЕНИЯ В РДТТ

А. М. Липанов^{1,2}, Л. Н. Колесникова², А. Ю. Лещёв³

¹Институт прикладной математики им. М. В. Келдыша РАН, 125047 Москва, aml35@yandex.ru

²Ижевский государственный технический университет им. М. Т. Калашникова, 426069 Ижевск

³Удмуртский федеральный исследовательский центр УрО РАН, 426067 Ижевск

Выполнен сравнительный анализ предельно максимальных давлений в РДТТ, получаемых при использовании степенного и реального законов скорости горения твердого топлива как функций давления. Показано, что при высоких значениях показателя степени в законе горения наблюдается большое (десятки процентов) различие между предельно максимальными значениями давления в двигателе, полученными двумя названными выше способами. В случае, когда показатель степени находится в диапазоне $0.3 \div 0.4$, степенной закон скорости горения завышает уровень давления в двигателе лишь на $2 \div 3\%$.

Ключевые слова: твердое топливо, заряд, двигатель, давление, скорость горения, закон скорости горения.

DOI 10.15372/FGV20200208

На практике при выполнении внутриваллистических расчетов в твердотопливных ракетных двигателях (РДТТ) скорость горения твердого топлива как функция давления традиционно определяется в соответствии со степенным законом [1]

$$u = u_1 p^\nu, \quad (1)$$

где u_1 и ν — коэффициент скорости и показатель степени соответственно, принимаемые здесь постоянными.

В работе [2] показано, что более общей формулой для зависимости скорости горения твердого топлива от давления является выражение

$$u_{real} = u_1 p + a(1 - \exp(-mp)) \exp(-np). \quad (2)$$

Содержащиеся в нем коэффициенты u_1 , a , m и n положительные. Из анализа выражения (2) следует, что при $p \rightarrow 0$ величина $u_{real} \rightarrow 0$, а при $p \rightarrow \infty$ второе слагаемое в формуле (2) исчезает и она превращается в одночленный закон

$$u_{real} = u_1 p, \quad (3)$$

выполняющийся в артиллерийском диапазоне давлений.

Из сказанного следует, что при экспериментальном определении коэффициента u_1 его значения следует находить при высоких давлениях, характерных для артиллерийского диапазона (сотни мегапаскалей), а коэффициенты a , m и n следует определять, используя давления, характерные для ракетного диапазона (единицы и десятки мегапаскалей).

Оказывается, что и нижеследующая формула [3]

$$u_{real} = u_1 p + ap^m \exp(-np), \quad (4)$$

где $0 < m < 1$, тоже может успешно использоваться при расчете скорости горения твердого топлива как функции давления. Воспользуемся рис. 1, заимствованным из работы [3], где представлены пять кривых $u(p)$, охватывающих, наверное, все возможные варианты зависимости скорости горения от давления, интересные для практики. Формулой (2) можно аппроксимировать четыре из пяти кривых $u(p)$, приведенных на рис. 1. Она не годится только при получении кривой 4, но такая зависимость $u(p)$ еще и не реализована на практике. Формулой (4) можно аппроксимировать кривую 4, а также кривые 1–3. Но она не годится для аппроксимации кривой 5 с затянутым асимптотическим приближением функции $u(p)$ к ее асимптоте $u_1 p$. Однако совокупность уравне-

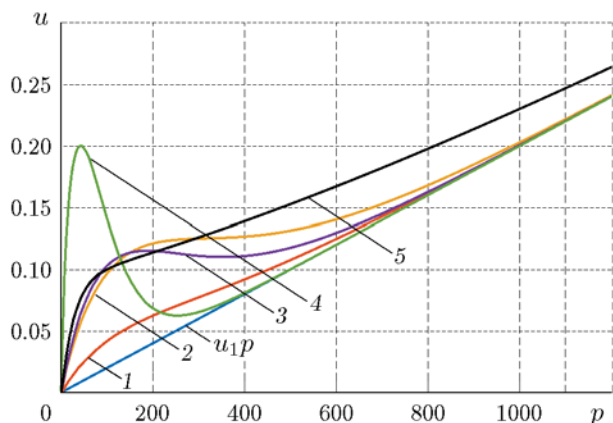


Рис. 1. Безразмерные зависимости скорости горения от давления:

кривая 1 заимствована из работы [4], кривые 2, 3, 5 построены на основе данных работы [5], кривая 4 предложена в работе [3]

ний (2) и (4) позволяет аппроксимировать все кривые $u(p)$, приведенные на рис. 1.

Воспользуемся этими формулами и выполним сравнительный анализ эффективности использования выражений (2) и (4) (будем называть их реальными зависимостями скорости горения твердого топлива от давления) по сравнению со степенным законом (1), в частности, при выполнении проектных расчетов. Отметим, что все параметры в формулах (2) и (4) приведены к безразмерному виду: давление отнесено к 1 атм, а скорость горения — к ее значению при $p = 500$ МПа.

Коэффициент u_1 для всех рассматриваемых кривых $u(p)$ принят равным 0.0002. Значения коэффициентов a , m и n приведены в табл. 1. Для кривых 1–4 они рассчитаны исходя из формулы (4), для кривой 5 соответствуют формуле (2).

Анализ проведем на примере вкладного за-

Таблица 1
Коэффициенты a , m , n для зависимостей $u(p)$
(см. рис. 1)

Кривая на рис. 1	a	m	n
1	0.000428	0.99753	0.006630
2	0.001778	0.95	0.006066
3	0.001908	0.99	0.007871
4	0.02232	0.8	0.02
5	0.09239	0.03462	0.001121

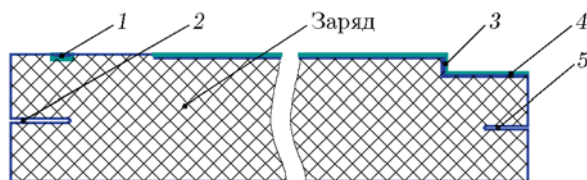


Рис. 2. Продольное сечение осесимметричного твердотопливного заряда для РДТГ с застойной зоной:

1 — наружный пояс из бронировки, 2 — проточка на переднем торце заряда, 3 — опорный уступ, 4 — бронировка наружной поверхности заряда, 5 — проточка на сопловом торце заряда

ряда твердого топлива для РДТГ с застойной зоной (рис. 2). Заряд имеет опорный уступ, бронировку, расположенную на наружной поверхности заряда и две проточки на переднем и сопловом торцах. Бронировка разделена на две неравные части: меньшую 1 в виде пояса и большую часть 4 тоже на наружной поверхности заряда. Проточки имеют одинаковую начальную ширину, но разную длину. Длина проточки на переднем торце больше, чем на сопловом. Площадь поверхности горения S рассматриваемого заряда рассчитывали в предположении горения твердого топлива в соответствии с законом Вьеля, параллельными слоями [6] с одинаковой скоростью по всей поверхности горения заряда. Шаг Δe дискретизации горящего свода e выбирали минимально возможным и таким, чтобы не пропустить ни одной особой точки на зависимости площади поверхности горения такого заряда от величины сгоревшего свода. Варьируя длину проточек и их расположение относительно канала заряда, изменяя размеры и расположение бронировки на поверхности заряда [7], получаем зависимость $S(e)$, приведенную на рис. 3. Видно, что текущая площадь поверхности горения заряда колеблется около ее среднего значения $\langle S \rangle$. Начальная поверхность горения рассматриваемого заряда при $e = 0$ меньше ее средней поверхности горения примерно на 6.8%. Максимальная площадь поверхности горения заряда S_{\max} достигается при своде, равном $\approx 0.81e_{\max}$. В данном случае $S_{\max}/\langle S \rangle = 1.06$. При $e = 0.5$ и 0.81 имеют место скачки в значениях $S(e)$.

Рассмотрим различные варианты твердых топлив баллистического типа, которые позволяют получать приведенные на рис. 1 кривые $u(p)$, кроме, конечно, кривой 4.

Температурный диапазон боевого приме-

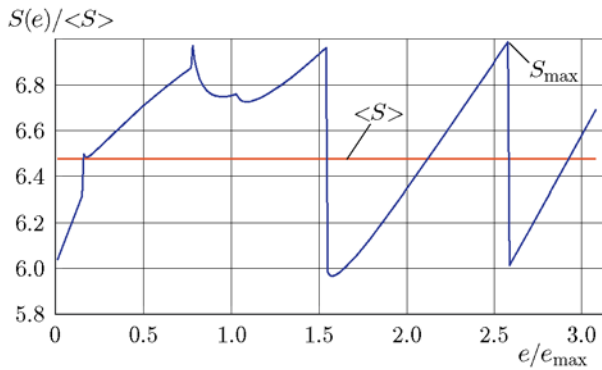


Рис. 3. Изменение площади поверхности горения заряда в зависимости от величины сгоревшего свода e

нения данного твердотопливного заряда принимаем равным ± 50 °С. Номинальную температуру топлива данного заряда T_{real} , соответствующую номинальной скорости горения и средним значениям других параметров заряда и двигателя (площади поверхности горения заряда, плотности топлива, площади минимального сечения сопла и т. д.), принимаем равной 20 °С. Это значит, что для перехода от номинальной температуры T_{real} заряда к ее максимальному уровню T_{max} температуру заряда необходимо увеличивать на 30 °С.

При выполнении проектных расчетов необходимо знать предельно возможное с заданной вероятностью давление в двигателе p_{max} . Для его определения используем уравнение [1]

$$S\rho u(p)f(T) = \frac{\varphi_2 B(k)F_{кр}p}{\sqrt{RTp}}, \quad (5)$$

где ρ — плотность твердого топлива, $f(T)$ — функция, определяющая зависимость скорости горения от температуры заряда, φ_2 — коэффициент расхода (поправка на неоднородность потока), $F_{кр}$ — площадь критического (минимального) сечения сопла, p — давление в двигателе, k — отношение изобарной (c_p) и изохорной (c_v) теплоемкостей соответственно,

$$B(k) = \left(\frac{2}{k+1}\right)^{(1/2)\cdot(k+1)/(k-1)} \sqrt{k}.$$

В отечественной научной литературе в качестве зависимости $f(T)$ принято использовать выражение В. К. Цветковой [6]

$$f(T) = \frac{B - T_{оп}}{B - T}, \quad (6)$$

где B — термохимическая постоянная, $T_{оп}$ — опорная температура. Опорную температуру $T_{оп}$ будем приравнивать к номинальной температуре заряда T_{real} . Для баллистических топлив принимаем $B = 350$. Считаем, что при $S = \langle S \rangle$ давление в двигателе $p = \langle p \rangle = 70$.

Используя уравнения (1) и (5) [1, 6], рассчитаем давления в двигателе: $p(S_{max})$ при $S = S_{max}$; $p(T_{max})$, если $S = S_{max}$, а $T = T_{max}$; $p_{max}^{(l)}$, когда $S = S_{max}$, $T = T_{max}$ и $u = u_{max}$. После этого, увеличивая $p_{max}^{(l)}$ на величину Δp_{max} за счет случайных факторов, определим p_{max} . При выполнении расчетов принимаем, что $\Delta p_{max}/p_{max}^{(l)} = 0.07$.

Результаты расчета отношений $p(S_{max})/\langle p \rangle$, $p(T_{max})/p(S_{max})$, $p_{max}^{(l)}/p(T_{max})$ для зависимостей 1–3, 5, приведенных на рис. 1, при $S = S_{max}$, $T = T_{max}$, $u = u_{max}$, если $S_{max}/\langle S \rangle = 1.06$, $(B - T_{real})/(B - T_{max}) = 1.1$, $u_{max}/u_{real} = 1.03$, представлены в табл. 2. На данном этапе не рассматриваем кривую 4, к которой не будем применять степенной закон с отрицательным значением ν . Видно, что для кривых в порядке возрастания их номера влияние конструктивных $S_{max}/\langle S \rangle$, эксплуатационных $(B - T_{real})/(B - T_{max})$, технологических u_{max}/u_{real} факторов соответственно на переменные $p(S_{max})/\langle p \rangle$, $p(T_{max})/p(S_{max})$, $p_{max}^{(l)}/p(T_{max})$ убывает. Чтобы выяснить, в чем здесь дело, запишем уравнение (5) сначала для $S = \langle S \rangle$, когда уравнение (5) содержит $p = \langle p \rangle$, а затем для $S = S_{max}$, когда $p = p(S_{max})$, и разделим уравнения друг на друга. Получим

$$\frac{p(S_{max})}{\langle p \rangle} = \left(\frac{S_{max}}{\langle S \rangle}\right)^{1/(1-\nu_{real})}. \quad (7)$$

Таблица 2

Изменение в РДТТ отношений $p(S_{max})/\langle p \rangle$, $p(T_{max})/p(S_{max})$, $p_{max}^{(l)}/p(T_{max})$ в зависимости от параметров $S_{max}/\langle S \rangle$, $(B - T_{real})/(B - T_{max})$ и u_{max}/u_{real} соответственно

Кривая на рис. 1	$p(S_{max})/\langle p \rangle$	$p(T_{max})/p(S_{max})$	$p_{max}^{(l)}/p(T_{max})$
1	1.2444	1.4300	1.1102
2	1.1606	1.2758	1.0767
3	1.1315	1.2240	1.0644
5	1.0850	1.1427	1.0420

Поскольку при переходе от одной кривой к другой параметр $S_{\max}/\langle S \rangle$ не меняется, причиной уменьшения $p(S_{\max})/\langle p \rangle$ может быть только уменьшение ν_{real} . Поэтому важно установить, какие ν_{real} соответствуют рассматриваемым кривым при $\langle p \rangle = 70$. Значение ν рассчитывается в соответствии с выражением [3] для каждой из рассматриваемых зависимостей скорости горения от давления:

$$\nu_{real} = \frac{p}{u} \frac{du}{dp}. \quad (8)$$

Результаты расчетов представлены в табл. 3. Видно, что действительно с ростом номера рассматриваемых кривых соответствующие им значения ν уменьшаются. Особенно малым он оказывается у кривой 5: по сравнению с кривой 1 меньше в 2.644 раза. В этих условиях влияние параметра $S_{\max}/\langle S \rangle = 1.06$ на увеличение $p(S_{\max})/\langle p \rangle$ сокращается с 24.4 % (для кривой 1) до 8.5 % (для кривой 5), или в 2.876 раза. В то же время при высоком значении ν , равном, например, для первой кривой 0.73354, увеличение поверхности горения всего на 6 % приводит к увеличению давления более чем на 24 %. Равенство, аналогичное (7), может быть получено для $p(T_{\max})/p(S_{\max})$, зависящего от $(B - T_{real})/(B - T_{\max})$. Это значит, что и в данном случае причиной уменьшения отношения $p(T_{\max})/p(S_{\max})$ является уменьшение показателя ν .

Расчет влияния u_{\max}/u_{real} на отношение $p_{\max}^{(l)}/p(T_{\max})$ изложим позднее. Отметим, что для значений u_{\max}/u_{real} , близких к единице, где $u_{\max} > u_{real}$, расчеты по нелинейной модели практически совпадают с линейной теорией. А в этом случае имеем [1]

$$\frac{p_{\max}^{(l)} - p(T_{\max})}{p(T_{\max})} = \frac{1}{1 - \nu} \frac{u_{\max} - u_{real}}{u_{real}}. \quad (9)$$

Таблица 3
Показатель степени ν_{real}
для рассматриваемых кривых при $\langle p \rangle = 70$

Кривая на рис. 1	ν_{real}
1	0.7335
2	0.6087
3	0.5285
4	0.4747
5	0.2775

Видно, что и здесь причиной уменьшения отношения $p_{\max}^{(l)}/p(T_{\max})$ является уменьшение ν .

Из анализа данных табл. 2 следует, что влияние параметра $(B - T_{real})/(B - T_{\max})$ на отношение $p(T_{\max})/p(S_{\max})$ значительно превышает влияние параметров $S_{\max}/\langle S \rangle$ и u_{\max}/u_{real} на отношения $p(T_{\max})/p(S_{\max})$ и $p_{\max}^{(l)}/p(T_{\max})$ соответственно. Дело в том, что в рассматриваемом случае $(B - T_{real})/(B - T_{\max})$ в 1.0377 раза больше, чем $S_{\max}/\langle S \rangle$, и тем более больше, чем u_{\max}/u_{real} . Отношение $p(T_{\max})/p(S_{\max})$ для каждой кривой будет больше, чем отношения $p(S_{\max})/\langle p \rangle$ и $p_{\max}^{(l)}/p(T_{\max})$. При этом влияние $(B - T_{real})/(B - T_{\max})$ относительно $S_{\max}/\langle S \rangle$ (оно равно 1.0377) тем сильнее, чем больше ν , так как для кривой 1 показатель степени $1/(1 - \nu_{real})$ в соотношении (7) равен 3.7529, а для кривой 5, например, он составляет только 1.3840. В табл. 2 приведены отношения $p(S_{\max})/\langle p \rangle$, $p(T_{\max})/p(S_{\max})$, $p_{\max}^{(l)}/p(T_{\max})$. Но так как

$$\frac{p_{\max}^{(l)}}{\langle p \rangle} = \frac{p_{\max}^{(l)}}{p(T_{\max})} \frac{p(T_{\max})}{p(S_{\max})} \frac{p(S_{\max})}{\langle p \rangle}, \quad (10)$$

то для учета суммарного воздействия трех этих факторов на давление в двигателе значения, находящиеся в табл. 2, достаточно перемножить. Результаты расчетов для рассматриваемых кривых приведены в первой графе табл. 4.

Итак, при использовании степенного закона величина $p_{\max}^{(l)}$ из-за высокого значения ν почти в два раза превысила $\langle p \rangle$. Зная величину $p_{\max}^{(l)}$ и учитывая, что

$$p_{\max} = p_{\max}^{(l)} + \Delta p_{\max}, \quad (11)$$

где $\Delta p_{\max}/p_{\max}^{(l)} = 0.07$, найдем максимально возможное давление $p_{\max} = 1.07p_{\max}^{(l)}$. Результаты расчетов приведены во второй графе табл. 4. Видно, что для кривой 1 (см. рис. 1) с высоким показателем степени ν максимально возможное давление $p_{\max}^{(l)}$ более чем в два раза превышает номинальное давление $\langle p \rangle$. При тех же условиях давление $p_{\max}^{(l)}$ для кривой 5, имеющей минимальный из рассмотренных показатель ν , превышает номинальное давление

Таблица 4

Отношение $p_{\max}^{(i)}/\langle p \rangle$, обусловленное совокупным воздействием параметров $S_{\max}/\langle S \rangle$, $(B - T_{real})/(B - T_{\max})$, u_{\max}/u_{real} , и давление p_{\max}

Кривая на рис. 1	$p_{\max}^{(i)}/\langle p \rangle$	p_{\max}
1	1.9756	147.9745
2	1.5941	119.3966
3	1.4742	110.4153
5	1.2919	96.7603

$\langle p \rangle$ только на 38 %. Таково влияние показателя степени ν в степенном законе скорости горения на максимально возможное давление $p_{\max}^{(i)}$ в двигателе.

Далее, используя реальный закон скорости горения, рассмотрим влияние тех же факторов на давление в двигателе при переходе от $\langle p \rangle$ к $p_{\max}^{(i)}$. Снова рассмотрим уравнение (5). Разделим данное уравнение на $u(p)$, а затем умножим на u_1 . Далее перенесем комплекс $\varphi_2 B(k)F_{кр}/\sqrt{RT_p}$ в левую часть уравнения (5). Получим

$$\frac{S\rho u_1 f(t_3)}{\varphi_2 B(k)F_{кр}} \sqrt{RT_p} = \frac{u_1 p}{u(p)}. \quad (12)$$

Находящееся справа отношение обозначим

$$\varphi(p) = \frac{u_1 p}{u(p)}. \quad (13)$$

Зависимости $\varphi_i(p)$ ($i = 1, 2, 3, 4$), соответствующие зависимости $u(p)$ (формула (4)) с коэффициентами для кривых 1–4 с рис. 1, показаны на рис. 4. Здесь также приведена зависимость $\varphi_5(p)$ (кривая 5) для формулы (2) с коэффициентами для кривой 5 с рис. 1. Видно, что все рассматриваемые зависимости монотонные и с ростом давления увеличиваются от своих начальных значений до единицы. При этом для первых четырех кривых начальное значение общее: $\varphi_i(0) = 0$ при $p = 0$. Чтобы в этом убедиться, запишем выражение для $\varphi(p)$, где $u(p)$ рассчитывается по формуле (4) в виде

$$\varphi(p) = \frac{p^{1-m}}{p^{1-m} + (a/u_1) \exp(-np)}. \quad (14)$$

Поскольку $0 < m < 1$, то $1 - m > 0$. Поэтому при $p \rightarrow 0$ степенная функция p^{1-m} будет

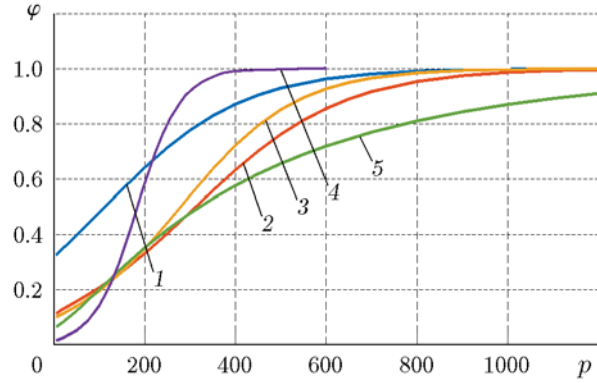


Рис. 4. Зависимость $\varphi(p)$:

номера $i = 1, 2, 3, 4, 5$ соответствуют номерам кривых на рис. 1

также стремиться к нулю. Однако во всех четырех расчетных случаях разность $1 - m$ хотя и положительная, но близка к нулю. По этой причине все функции $\varphi_i(p)$ ($i = 1, 2, 3, 4$) в ближайшей окрестности $p = 0$ круто возрастают, имея первую и последующие производные от φ по p стремящимися к бесконечности при $p \rightarrow 0$. Поэтому построение кривых 1–4 зависимости $\varphi(p)$ удобно начинать с минимального конечного давления p , большего нуля, например с $p = 5$. И только $\varphi_5(p)$ при $p = 0$ не имеет особенности и равна $\varphi_5(0) = 1/[1 + (a/u_1)m]$.
В номинальных условиях имеем

$$\frac{\langle S \rangle \rho u_{1real}}{\varphi_2 B(k)F_{кр}} \sqrt{RT_p} = \frac{u_{1real} \langle p \rangle}{u_{real}(\langle p \rangle)}. \quad (15)$$

При заданном $\langle p \rangle = 70$ правая часть уравнения (15) известна. Это значит, что известна и его левая часть. Обозначим ее L :

$$L = \frac{\langle S \rangle \rho u_{1real}}{\varphi_2 B(k)F_{кр}} \sqrt{RT_p}. \quad (16)$$

Если $S = S_{\max}$, то, записывая уравнение (15) в виде

$$\frac{S_{\max}}{\langle S \rangle} L = \varphi(p(S_{\max})), \quad (17)$$

получим уравнение для определения давления $p(S_{\max})$, соответствующего $S = S_{\max}$. Оно трансцендентное. Но поскольку функция $\varphi(p)$ монотонная, то, используя метод касательных Ньютона [8], без большого труда определим давление $p(S_{\max})$. Аналогично при $T = T_{\max}$ получаем уравнение

$$L \frac{B - T_{оп}}{B - T_{\max}} = \varphi(p_1(T_{\max})) \quad (18)$$

Таблица 5

Изменение в РДТТ отношений
 $p(S_{\max})/\langle p \rangle$, $p(T_{\max})/p(S_{\max})$, $p_{\max}^{(i)}/p(T_{\max})$
 в зависимости соответственно от параметров
 $S_{\max}/\langle S \rangle$, $(B - T_{real})/(B - T_{\max})$ и u_{\max}/u_{real}
 при использовании реальной зависимости
 скорости горения твердого топлива от давления

Кривая на рис. 1	$p(S_{\max})/\langle p \rangle$	$p(T_{\max})/p(S_{\max})$	$p_{\max}^{(i)}/p(T_{\max})$
1	1.2238	1.3719	1.1150
2	1.1509	1.2489	1.0781
3	1.1244	1.2043	1.0643
4	1.0397	1.0652	1.0203
5	1.0835	1.1388	1.0416

для определения давления $p = p_1(T_{\max})$. Здесь $p(S_{\max})$ и $p_1(T_{\max})$ определяются только одним фактором: увеличением площади поверхности горения или температуры заряда начиная от номинальных значений при $p = \langle p \rangle = 70$. Результаты расчетов представлены в табл. 5. Видно, что для зависимостей в порядке возрастания их номера интенсивность воздействия каждого фактора ослабевает, т. е. наблюдается та же зависимость, что и при использовании степенного закона скорости горения. Воздействие большего по величине фактора $((B - T_{real})/(B - T_{\max}))$ по сравнению с $S_{\max}/\langle S \rangle$ приводит к большему увеличению давления. Но наименьший рост давления при увеличении параметров $S_{\max}/\langle S \rangle$ и $(B - T_{real})/(B - T_{\max})$ наблюдается для кривой 4, когда имеет место отрицательная производная $\frac{du}{dp}$.

Сравнивая результаты, полученные при использовании степенного и реального законов скорости горения в зависимости от давления, видим, что в последнем случае для каждой из кривых при воздействии как $S_{\max}/\langle S \rangle$, так и $(B - T_{real})/(B - T_{\max})$ всякий раз приращение давления меньше. Различия при воздействии каждого фактора на относительное давление не столь велики (в третьей значащей цифре на две-три единицы), но отклонения всегда в меньшую сторону. Исключение составляет воздействие максимальной температуры заряда T_{\max} для кривой 1. Здесь отклонение в меньшую сторону на одну единицу имеет место уже во второй значащей цифре, или около 4 %.

Далее, рассмотрим влияние увеличения скорости горения твердого топлива u на давление. Снова будем рассматривать относительное отклонение скорости u от номинального значения u_{real} , когда $u_{\max}/u_{real} = 1.03$, при давлении начиная с $p = \langle p \rangle = 70$. В данном случае отклонение скорости Δu зависит от четырех коэффициентов: u_1 , a , m и n (при использовании степенного закона скорости горения имеем два коэффициента — u_{1real} и ν_{real}). Их значения, обеспечивающие получение u_{\max} , будем снабжать индексом i . Так что $\Delta u_{\max} = u_{\max}(u_{1i}, a_i, m_i, n_i) - u_{real}$ или $\Delta u_{\max}/u_{real} = u_{\max}(u_{1i}, a_i, m_i, n_i)/u_{real} - 1$.

Подставляя вместо $u_{\max}(u_{1i}, a_i, m_i, n_i)$ формулу (4) для кривых 1–4 или формулу (2) для кривой 5, будем каждый из параметров, как и при использовании степенного закона, находить в предположении, что рассматриваемое отклонение Δu_{\max} обусловлено воздействием только данного фактора при постоянстве остальных (получаемое значение параметра будем обозначать чертой сверху). Сначала воспользуемся формулой (4). Имеем

$$u_{\max} = u_{1i}\langle p \rangle + a_i[\langle p \rangle]^{m_i} \exp(-n_i\langle p \rangle). \quad (19)$$

Отсюда, если принять коэффициенты a , m и n номинальными, находим

$$\bar{u}_{1i} = \frac{u_{\max} - a[\langle p \rangle]^m \exp(-n\langle p \rangle)}{\langle p \rangle}. \quad (20)$$

Аналогично определяем \bar{a}_i , \bar{m}_i , \bar{n}_i :

$$\bar{a}_i = \frac{u_{\max} - u_1\langle p \rangle}{[\langle p \rangle]^m \exp(-n\langle p \rangle)}, \quad (21)$$

$$\bar{m}_i = \ln \frac{u_{\max} - u_1\langle p \rangle}{a \exp(-n\langle p \rangle)} / \ln(\langle p \rangle), \quad (22)$$

$$\bar{n}_i = \left\langle \frac{1}{p} \right\rangle \ln \frac{a[\langle p \rangle]^m}{u_{\max} - u_1\langle p \rangle}. \quad (23)$$

После этого можно записать

$$\theta_i = \theta + \xi(\bar{\theta}_i - \theta), \quad (24)$$

где θ — алгебраический вектор, имеющий компонентами параметры u_1 , a , m , n ; переменная ξ изменяется от нуля до единицы. Компоненты вектора θ можно использовать при расчете влияния отношения u_{\max}/u_{real} на давление в двигателе для кривых 1–4 на рис. 1.

Для расчета коэффициентов u_{1i} , a_i , m_i , n_i воспользуемся формулой (24). После этого, рассматривая равенство (19) как уравнение, содержащее неизвестную ξ , и удовлетворяя условию $u_{\max}/u_{real} = 1.03$, найдем требуемые значения u_{1i} , a_i , m_i , n_i .

Аналогично для кривой 5 имеем

$$u_{\max} = u_{1i}\langle p \rangle + a_i(1 - \exp(-m_i\langle p \rangle)) \exp(-n_i\langle p \rangle). \quad (25)$$

Используя выражение (25), запишем для коэффициентов \bar{u}_{1i} , \bar{a}_i , \bar{m}_i , \bar{n}_i равенства, аналогичные (20)–(23). Определив коэффициенты \bar{u}_{1i} , \bar{a}_i , \bar{m}_i , \bar{n}_i , запишем систему равенств (24), которую будем решать совместно с уравнением (25) с целью определения оптимального значения коэффициента ξ , удовлетворяя условию $u_{\max}/u_{real} = 1.03$. Зная оптимальную величину коэффициента ξ и используя равенства (24), находим требуемые значения коэффициентов u_{1i} , a_i , m_i , n_i для кривой 5. Аналогично решается задача определения u_{1real} и ν_{real} при использовании степенного закона

$$u_{\max} = u_{1real}\langle p \rangle^{\nu_{real}} \quad (26)$$

и выполнении условия $u_{\max}/u_{real} = 1.03$.

Имея для каждой кривой $u(p)$ значения коэффициентов u_{1i} , a_i , m_i , n_i , можем найти значения $p(u_{\max}/u_{real})$. С этой целью для каждой кривой 1–4 необходимо решить уравнение

$$\frac{u_{1i}}{u_{1real}} L = u_{1i} p \left(\frac{u_{\max}}{u_{real}} \right) / \left\{ u_{1i} p \left(\frac{u_{\max}}{u_{real}} \right) + a_i \left[p \left(\frac{u_{\max}}{u_{real}} \right) \right]^{m_i} \exp \left(-n_i p \left(\frac{u_{\max}}{u_{real}} \right) \right) \right\}, \quad (27)$$

а для кривой 5 — уравнение

$$\frac{u_{1i}}{u_{1real}} L = u_{1i} p \left(\frac{u_{\max}}{u_{real}} \right) / \left\{ u_{1i} p \left(\frac{u_{\max}}{u_{real}} \right) + a_i \left(1 - \exp \left(-m_i p \left(\frac{u_{\max}}{u_{real}} \right) \right) \right) \times \exp \left(-n_i p \left(\frac{u_{\max}}{u_{real}} \right) \right) \right\}. \quad (28)$$

Результаты расчетов представлены в табл. 5 (последняя графа). Сравнение результатов, установленных при использовании степенного и реальных законов скорости горения как функции давления, позволяет заключить, что при

небольших увеличениях скорости горения топлива результаты близки.

Что касается определения давления по степенному закону скорости горения, то при известных u_{1i} и ν_i , используя уравнение (5), запишем

$$p(u_{\max}) = (A u_{1i})^{1/(1-\nu_i)}, \quad (29)$$

где $A = \frac{\langle S \rangle \rho}{\varphi_2 B(k) F_{кр}} \sqrt{RT_p}$. В номинальных условиях при известном давлении $p = \langle p \rangle$ множитель A находим из уравнения (5):

$$A = \frac{(\langle p \rangle)^{1-\nu_{real}}}{u_{1real}}. \quad (30)$$

После расчета давления $p(S_{\max})$ можно определить, как влияют на давление $p(T_{\max})$ два следующих фактора: увеличение площади поверхности горения $S_{\max}/\langle S \rangle$ и рост температуры заряда $(B - T_{real})/(B - T_{\max})$. Для этого необходимо решить уравнение

$$\frac{S_{\max}}{\langle S \rangle} \frac{B - T_{real}}{B - T_{\max}} L = \varphi(p(T_{\max})). \quad (31)$$

Найденное в результате его решения давление $p(T_{\max})$ будет больше давления $p_1(T_{\max})$, полученного при воздействии только одного фактора $(B - T_{real})/(B - T_{\max})$. Результаты расчета $p_1(T_{\max})$ приведены в табл. 6. Разделим эти значения $p_1(T_{\max})$ на значения $p(S_{\max})$, соответствующие первой графе в табл. 5. Полученные результаты приведены в табл. 6. Видно, что отношения $p(T_{\max})/p(S_{\max})$ меньше отношений $p_1(T_{\max})/\langle p \rangle$ в случае воздействия одного и того же фактора $(B - T_{real})/(B - T_{\max})$. Этот эффект обусловлен тем, что отношение $p(T_{\max})/p(S_{\max})$ получено делением давления $p(T_{\max})$ на большее значение $p(S_{\max})$, чем при делении $p_1(T_{\max})$ на величину $\langle p \rangle$. Далее находим давление $p_{\max}^{(1)}$ как результат одновременного воздействия на процессы в двигателе трех факторов: увеличения площади поверхности горения $S_{\max}/\langle S \rangle$, температуры $(B - T_{real})/(B - T_{\max})$ и скорости горения топлива по сравнению с номинальной u_{\max}/u_{real} . Снова считаем, что $u_{\max}/u_{real} = 1.03$. В этих условиях для каждой кривой $u(p)$ сначала определяем коэффициенты u_{1i} , a_i , m_i , n_i при $p = p(T_{\max})$. Полагая их известными, решаем для каждой кривой 1–4 уравнение

Таблица 6
Давление $p(T_{\max})$ и отношение $p(T_{\max})/p(S_{\max})$,
полученное в результате воздействия
факторов $S_{\max}/\langle S \rangle$ и $(B - T_{real})(B - T_{\max})$

Кривая на рис. 1	$p(T_{\max})$	$p(T_{\max})/p(S_{\max})$
1	113.0693	1.3199
2	98.4363	1.2218
3	93.2141	1.1843
4	77.3861	1.0633
5	86.0574	1.1346

Таблица 7
Давление $p_{\max}^{(l)}$ и отношение $p_{\max}^{(l)}/p(T_{\max})$,
полученное при одновременном воздействии факторов
 $S_{\max}/\langle S \rangle$, $(B - T_{real})/(B - T_{\max})$ и u_{\max}/u_{real}

Кривая на рис. 1	$p_{\max}^{(l)}$	$p_{\max}^{(l)}/p(T_{\max})$
1	122.1740	1.0815
2	104.2332	1.0590
3	97.8618	1.0499
4	78.8460	1.0189
5	89.4494	1.0394

$$\frac{S_{\max}}{\langle S \rangle} \frac{B - T_{real}}{B - T_{\max}} \frac{u_{1i}}{u_{1real}} L = \frac{u_{1i} p_{\max}^{(l)}}{u_{1i} p_{\max}^{(l)} + a_i [p_{\max}^{(l)}]^{m_i} \exp(-n_i p_{\max}^{(l)})}, \quad (32)$$

а для кривой 5 — уравнение

$$\frac{S_{\max}}{\langle S \rangle} \frac{B - T_{real}}{B - T_{\max}} \frac{u_{1i}}{u_{1real}} L = u_{1i} p_{\max}^{(l)} / \{u_{1i} p_{\max}^{(l)} + a_i (1 - \exp(-m_i p_{\max}^{(l)})) \exp(-n_i p_{\max}^{(l)})\}. \quad (33)$$

В итоге находим давление $p_{\max}^{(l)}$, после чего рассчитываем отношение $p_{\max}^{(l)}/p(T_{\max})$. Результаты расчетов приведены в табл. 7. Отметим, что приведенные в ней отношения $p_{\max}^{(l)}/p(T_{\max})$, обусловленные воздействием параметра u_{\max}/u_{real} , меньше соответствующих значений, приведенных в табл. 5, т. е. наблюдаем тот же эффект, что и для $p(T_{\max})/p(S_{\max})$ в табл. 6.

После этого находим максимально возможное давление p_{\max} . Здесь следует отметить,

что при использовании реального закона для скорости горения как функции давления параметр ν является функцией давления p . Поэтому в приведенном ниже выражении для предельного отклонения давления при воздействии случайных факторов [1]

$$\frac{\langle \Delta p \rangle}{\langle p \rangle} = \frac{n}{1 - \nu_{real}} \sqrt{\sum_{i=1}^6 D_i} \quad (34)$$

не зависящим от давления является сомножитель $n \sqrt{\sum_{i=1}^6 D_i}$. Пусть $\langle \Delta p \rangle / \langle p \rangle = \Theta$. Принимаем $\Theta = 0.07$. Тогда из равенства (34) находим

$$n \sqrt{\sum_{i=1}^6 D_i} = (1 - \nu_{real}) \Theta. \quad (35)$$

Далее получаем

$$\frac{\Delta p_{\max}^{(l)}}{p_{\max}^{(l)}} = \frac{1 - \nu_{real}}{1 - \nu(p_{\max})} \Theta. \quad (36)$$

Но $\Delta p_{\max}^{(l)} = p_{\max} - p_{\max}^{(l)}$, поэтому

$$p_{\max} = p_{\max}^{(l)} \left(1 + \frac{1 - \nu_{real}}{1 - \nu(p_{\max})} \Theta \right). \quad (37)$$

Величину $\nu(p_{\max}^{(l)})$ для кривых 1–4 рассчитываем по формуле

$$\nu(p_{\max}) = [u_1 p_{\max} + a(m - n p_{\max})(p_{\max})^m \exp(-n p_{\max})] / [u_1 p_{\max} + a(p_{\max})^m \exp(-n p_{\max})], \quad (38)$$

а для кривой 5 — по формуле

$$\nu(p_{\max}) = \{u_1 p_{\max} + a[(m + n) \times \exp(-m p_{\max}) - n] p_{\max} \exp(-n p_{\max})\} / [u_1 p_{\max} + a(1 - \exp(-m p_{\max})) \exp(-n p_{\max})]. \quad (39)$$

Уравнение (37) содержит одну неизвестную величину p_{\max} и является трансцендентным. Легко показать, что его правая часть как функция p_{\max} является монотонной. Поэтому, используя метод касательных Ньютона, можно без большого труда решить уравнение (37). Результаты расчета максимально возможных давлений p_{\max} приведены в табл. 8.

Таблица 8

Параметры p_{\max} , $p_{\max} - p_{\max}^{(1)}$, $\tilde{p}_{\max} - p_{\max}$ и отношение $(\tilde{p}_{\max} - p_{\max})/\tilde{p}_{\max}$ для рассматриваемых кривых $u(p)$

Кривая на рис. 1	p_{\max}	$p_{\max} - p_{\max}^{(1)}$	$\tilde{p}_{\max} - p_{\max}$	$(\tilde{p}_{\max} - p_{\max})/\tilde{p}_{\max}$, %
1	127.8124	5.6403	20.1603	13.6242
2	109.3421	5.1089	10.0545	8.4211
3	102.7781	4.9163	7.6372	6.9168
4	83.6925	4.8465	—	—
5	95.1659	5.7165	1.5944	1.6477

Там же представлены разности между давлениями p_{\max} и $p_{\max}^{(1)}$, а также между максимально возможными давлениями \tilde{p}_{\max} и p_{\max} , полученными по степенному и реальному законам скорости горения. Кроме того, в этой таблице приведены отношения $(\tilde{p}_{\max} - p_{\max})/\tilde{p}_{\max}$.

Анализируя данные табл. 8, можно отметить, что разность $p_{\max} - p_{\max}^{(1)}$ ни для одной из рассматриваемых кривых $u(p)$ не превышает 6 %, а все отношения $(\tilde{p}_{\max} - p_{\max})/\tilde{p}_{\max}$ меньше 7 %. Последнее является следствием того, что $\Delta p_{\max}/p_{\max}^{(1)} < \langle \Delta p \rangle / \langle p \rangle$, а $\langle \Delta p \rangle / \langle p \rangle = 7\%$ для всех рассматриваемых кривых $u(p)$. Разность $\tilde{p}_{\max} - p_{\max}$ велика для кривой 1 из-за большого значения $\nu_{real} = 0.73354$, а, например, для кривой 5, где $\nu_{real} = 0.27746$, она не превышает 1.6. Отношение $(\tilde{p}_{\max} - p_{\max})/\tilde{p}_{\max}$, приведенное на рис. 5 в виде зависимости от значений ν_{real} , взятых из табл. 3, монотонно растет. Данная кривая позволяет находить значения $(\tilde{p}_{\max} - p_{\max})/\tilde{p}_{\max}$ при любом ν_{real} , а не только при соответствующих рассматриваемым кривым $u(p)$.

Итак, в данной работе для вкладных зарядов РДТТ изложен метод и выполнен расчет максимально возможных давлений p_{\max} при использовании степенного и реального законов скорости горения как функции давления.

Показано, что при высоких показателях степени ν разности между значениями p_{\max} , полученными при использовании степенного и реального законов, достаточно велики (20 % и более), а при низких показателях ν (на уровне $0.2 \div 0.3$) не превышают 2 %. Выполнены расчеты зависимости давления в двигателе от конструктивных (отношение максимальной и средней поверхностей горения заряда), эксплу-

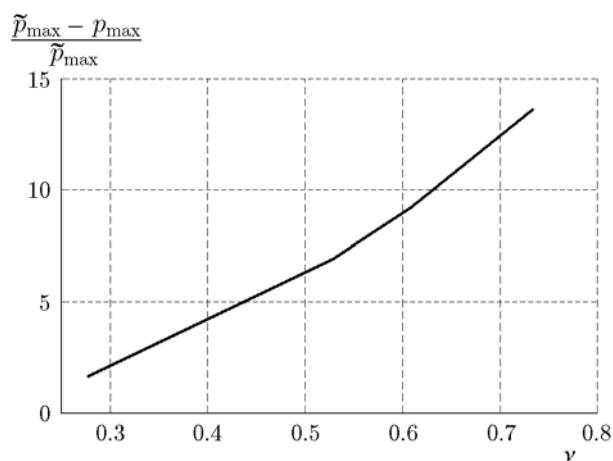


Рис. 5. Изменение отношения $\Delta p_{\max}/\tilde{p}_{\max} = (\tilde{p}_{\max} - p_{\max})/\tilde{p}_{\max}$ в зависимости от показателя степени ν

атационных (влияние максимальной температуры заряда по сравнению с номинальной) и технологических (отношение максимальной и номинальной скоростей горения топлива) факторов при использовании как степенного, так и реального закона скорости горения. Показана меньшая чувствительность к перечисленным факторам при использовании реального закона скорости горения твердого топлива как функции давления по сравнению со степенным.

ЛИТЕРАТУРА

1. Соркин Р. Е. Теория внутрикамерных процессов в ракетных системах на твердом топливе: внутренняя баллистика. — М.: Наука, 1983.
2. Липанов А. М. Скорость горения твердого топлива как функция давления // Физика горения и взрыва. — 2013. — Т. 49, № 3. — С. 34–38.
3. Липанов А. М. О расчете давления в РДТТ при использовании реальной зависимости скорости горения твердого топлива от давления //

- Физика горения и взрыва. — 2017. — Т. 53, № 5. — С. 87–92.
4. **Абугов Д. И., Бобылев В. М.** Теория и расчет ракетных двигателей твердого топлива: учеб. для машиностроительных вузов. — М.: Машиностроение, 1987.
 5. **Жегров Е. Ф., Милехин Ю. М., Берковская Е. В.** Химия и технология баллиститных порохов, твердых ракетных и специальных топлив: в 2 т. / Федер. центр двойных технологий «Союз». — М.: МГУП, 2011. — Т. 2: Технология.
 6. **Внутренняя** баллистика РДТТ / под ред. акад. РАН А. М. Липанова и акад. РАН Ю. М. Милехина. — М.: Машиностроение, 2007.
 7. **Липанов А. М., Алиев А. В.** Проектирование ракетных двигателей твердого топлива. — М.: Машиностроение, 1995.
 8. **Бронштейн И. Н., Семендяев К. А.** Справочник по математике для инженеров и учащихся втузов. — М.: Наука, Гл. ред. физ.-мат. лит., 1986.

Поступила в редакцию 22.03.2019.

После доработки 12.08.2019.

Принята к публикации 28.08.2019.
